



بررسی آزمایشگاهی شیروانی‌های خاکی تسلیح شده با تایر فرسوده بر مبنای جابجایی افقی

میرهادی میرنقی زاده^۱، محمد حاجی عزیزی^{۲*}

۱- دانشجوی دکتری خاک و پی، دانشکده فنی و مهندسی، دانشگاه رازی، کرمانشاه

۲- دانشیار، دانشکده فنی و مهندسی، دانشگاه رازی، کرمانشاه

*mhazizi@razi.ac.ir

تاریخ دریافت: ۹۸/۱۱/۵ تاریخ پذیرش: ۹۹/۶/۲۰

چکیده

در سال‌های اخیر تعداد لاستیک‌های فرسوده در سراسر جهان با سرعت زیادی در حال افزایش است و تبدیل به یک مشکل زیست‌محیطی و اقتصادی شده است. امروزه اباحت تایرهای فرسوده در محیط‌زیست یکی از بزرگ‌ترین تهدیدها برای حفظ محیط‌زیست به شمار می‌رود و بازیافت یا استفاده مجدد تایرهای فرسوده بهترین راهبرد برای حل این معضل است. استفاده از تایرهای فرسوده در پروژه‌های عمرانی و ژئوتکنیکی یکی از راهبردهای موثر در این راستاست. در این مقاله به بررسی آزمایشگاهی شیروانی‌های خاکی تسلیح شده با تایر فرسوده بر مبنای جابجایی افقی (PIV) آزمایش) پرداخته شده است. در طی بارگذاری از مدلها تصاویر دیجیتال گرفته شده است و از روش سنجش تغییر مکان ذرات در تصویر (PIV) استفاده شده است. پارامترهایی نظیر طول لایه‌های تایر، تعداد لایه‌ها و موقعیت لایه‌ها به عنوان متغیر در نظر گرفته شده است. نتایج نشان می‌دهد استفاده از تقویتی تایر تأثیر قابل توجهی بر کاهش جابجایی افقی زیر شالوده و سطح شیب دارد. ردیف‌های افقی تایر بهترین موقعیت تسلیح کننده از نظر بهبود ظرفیت باربری و جابجایی جانبی هستند. وقتی چهار لایه تایر تقویتی با طول ۶۰ سانتی‌متر در نیمه‌بالایی شیب قرار می‌گیرد ظرفیت باربری ۳ برابر افزایش و جابجایی جانبی در زیر شالوده $\frac{3}{1}$ برابر کاهش می‌یابد. وقتی که سه لایه تایر با طول ۶۰ سانتی‌متر در یک‌سوم بالایی شیب قرار می‌گیرد ظرفیت باربری $\frac{2}{3}$ برابر و جابجایی جانبی زیر شالوده $\frac{1}{3}$ برابر افزایش می‌یابد. وقتی که شش، هشت و نه لایه تایر تقویتی با طول ۶۰ سانتی‌متر در شیب قرار می‌گیرد، جابجایی جانبی در زیر شالوده بیش از $\frac{3}{5}$ برابر کاهش می‌یابد.

واژگان کلیدی: شیروانی‌های خاکی، تقویت توسط تایر، ظرفیت باربری، جابجایی جانبی.

۱- مقدمه

ظرفیت بیرون کشیدگی ضایعات تایر ۱,۲۵ برابر یک ژئوسل و یا مواد مشابه تقویت‌کننده در خاک است[18].

بالبدهاب و کبایلی به مطالعه یک شیروانی تسلیح شده با لاستیک در مقیاس واقعی در کشور الجزایر پرداخته است. در این پروژه در حدود ۶۰۰۰ لاستیک فرسوده کامیون برای پایدارسازی شیروانی استفاده شده است. نتایج نشان‌دهنده‌ی عملکرد مناسب تایر در افزایش پایدارسازی شبی است[19].

مندال و همکاران پژوهشی با مدل‌سازی سانتریفوژی خاک مسلح شبی‌ها با استفاده از تراشه تایر انجام داده‌اند. این مطالعه نشان داد با افزایش درصد تراشه‌های تایر (۲,۵٪ تا ۱۰٪) ضرایب اطمینان افزایش و پارامترهای مقاومت برشی (C و ۵) بهبود می‌یابد[20]. لی و همکاران به مطالعه کوچک‌مقیاس از خاکریز تقویت‌شده با تایر پرداخته‌اند نتایج نشان داد که تقویت تایر عملکرد خاکریز را بسیار بهبود می‌بخشد[21].

اکثر مطالعات آزمایشگاهی و عددی در دیوارهای حائل و خاکریزها با ترکیب خرد تایر با خاک بررسی شده است. به علت درک ناکافی از مکانیسم تایر لاستیک به شکل کامل در خاک مسلح، آزمایش بر روی یک مدل کوچک‌مقیاس شیروانی، در این مقاله بررسی شده است. تاکنون مطالعه آزمایشگاهی کوچک‌مقیاس که آرایش‌های مختلف، تعداد لایه‌های مختلف، طول‌های مختلف تایرها لاستیکی در سطح شبی را بررسی کند انجام نگرفته است. در این مطالعه اثرات تقویتی لایه‌های افقی تایر در شبی به لحاظ ظرفیت باربری و جابجایی جانبی بررسی شده است.

۲- بررسی آزمایشگاهی

۲-۱- تجهیزات آزمایش

تجهیزات آزمون از بخش‌های اصلی زیر تشکیل شده است: آزمون در یک باکس با طول، عرض و ارتفاع به ترتیب ۲، ۱، ۱ متر انجام شد. باکس با سه صفحه فولادی از طرفین، یک صفحه فولادی از پایین و از جلو با ورق پلکسی گلاس به ضخامت ۱۰ میلی‌متر برای بررسی تغییر شکل‌ها استفاده شده است. از یک سیستم بارش خشک برای رسیدن به یک تراکم نسبی یکنواخت و محیط همگن خاک استفاده شده است. چارچوب بارگذاری دو ستون فولاد سفت و

از بزرگ‌ترین مشکلات زیست‌محیطی شهرها، چگونگی بازیافت و نحوه‌ی حذف ضایعات لاستیکی از محیط است. با توجه به مشکلات زیست‌محیطی انباشت تایرهای فرسوده به دلیل ریسک آتش‌سوزی و همچنین زادوولد انواع حشرات و موجودات موذی که خود می‌تواند ناقل انواع بیماری‌ها به انسان باشند. بازیافت تایرهای فرسوده و استفاده از آن‌ها در محصولات دیگر می‌تواند راهکار مناسبی برای حذف این گونه معضلات باشد علاوه بر موارد ذکر شده ایجاد چشم اندازهای زشت در حومه‌ی شهرها و جاده‌ها که با ملاحظات شهرسازی کاملاً در تنافق است، از دیگر معضلات انباشت پر حجم تایرهای فرسوده است[1-4].

گزارشی که در سال (۲۰۰۵) توسط انجمن سازندگان لاستیک ایالات متحده ارائه شده است نشان‌دهنده‌ی سهم ۱۶ درصد مهندسی عمران در بازیافت تایرهای فرسوده در این کشور می‌باشد[5]. هشت کارخانه‌ی بزرگ تایرسازی در کشور به طور متوسط سالانه حدود ۱۳,۵ میلیون حلقه تایر تولید می‌کنند که با واردات بیش از ۴ میلیون حلقه تایر، به صورت جمعی به طور متوسط ۱۷,۵ میلیون حلقه تایر، مصرف سالانه‌ی تایر کشور است. در این میان به طور متوسط بیش از ۱۰۰ هزار حلقه ضایعات خط تولید کارخانه‌های مختلف تایرسازی، به همراه تایرهای مصرف شده و مستعمل، حجم بسیار زیاد و قابل توجهی از این ضایعات را به وجود می‌آورد[6].

در سال‌های اخیر لاستیک در حوزه‌های مختلفی از مهندسی ژئوتکنیک بکار گرفته شده است. از لاستیک فرسوده در تقویت دیوارهای حائل [۹-۱۰]، شالوده [۱۱]، بهبود خصوصیات خاک [۱۲، ۱۳]، خاکریزها و شیروانی‌ها و... استفاده شده است و بنابراین اعتقاد بر این است که خاک مسلح با تایر به یک کاربرد گسترده‌تر در آینده تبدیل شود، به ویژه در کشورهایی که هزینه‌های نیروی کار کم است[۱۴، ۱۵].

اولین دیوار حائل تقویت‌شده با لاستیک (ارتفاع ۵ متر و طول ۱۰ متر) به سال ۱۹۸۴ در فرانسه برمی‌گردد. دومین دیوار حائل تقویت‌شده با لاستیک (ارتفاع ۴ متر و طول ۶۰ متر) سال ۱۹۹۰ در برزیل اجرا شد[۱۶]. تکنیک‌های دیگری از تقویت شبی و دیوارهای حائل توسط لاستیک در کشورهای زیادی امتحان شده است[۱۷].

از دو عدد LVDT قت ۰/۰۱ و رنج ۱۰ میلی‌متر در طرفین شالوده جهت محاسبه و تائید نتایج روش سنجش تغییر مکان ذرات در تصویر استفاده شده است. شکل شماتیک از تجهیزات آزمایشگاهی در شکل ۱ نشان داده شده است. همه مدل‌ها با فرم لاستیک ضایعات از وسایل نقلیه بر قی با قطر ۲۰ سانتی‌متر و ضخامت ۵ سانتی‌متر (شکل ۲) تقویت شده‌اند. تایرها با استفاده از یک سیم فلزی به هم وصل شده‌اند.

شکل ۱. شکل شماتیک از تجهیزات آزمایشگاهی الف) نما از روی‌رو ب) نما از بالا

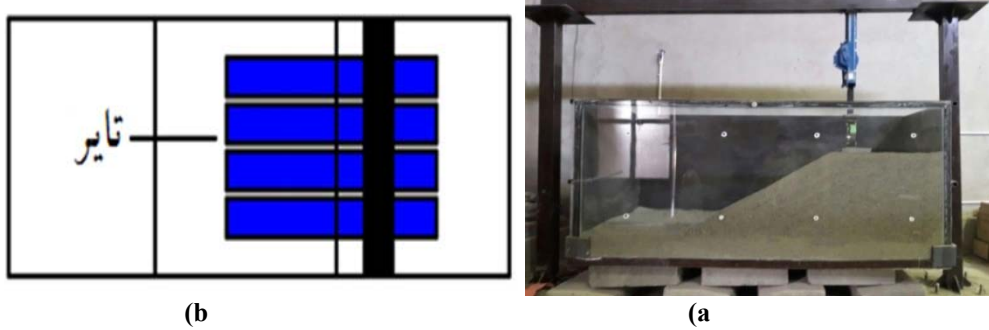


Fig. 1. Schematic view of the experimental apparatus (a) Elevation view and (b) Plan view

شکل ۲. تایرهای مورد استفاده در آزمایش



Figure 2. Tires used in tests

شکل ۳ نشان داده است. وزن مخصوص متواتسط خاک در آزمون ۱۷,۳۰ کیلو نیوتون/مترمکعب می‌باشد. زاویه اصطکاک داخلی و چسبندگی ماسه با انجام آزمایش برش مستقیم به ترتیب ۳۸ و ۰ کیلو پاسکال اندازه گیری شده است.

۲-۲- مصالح آزمایش

مواد آزمون مورد استفاده در این تحقیق ماسه سست در حالت خشک می‌باشد. حداقل و حداقل تراکم خشک ماسه به ترتیب ۱۹,۴۳ و ۱۶,۳۶ کیلو نیوتون/مترمکعب می‌باشد. توزیع اندازه ذرات از طریق استفاده از روش الک خشک تعیین شده است. نتایج دانه‌بندی در

شکل ۳. توزیع اندازه ذرات از خاک

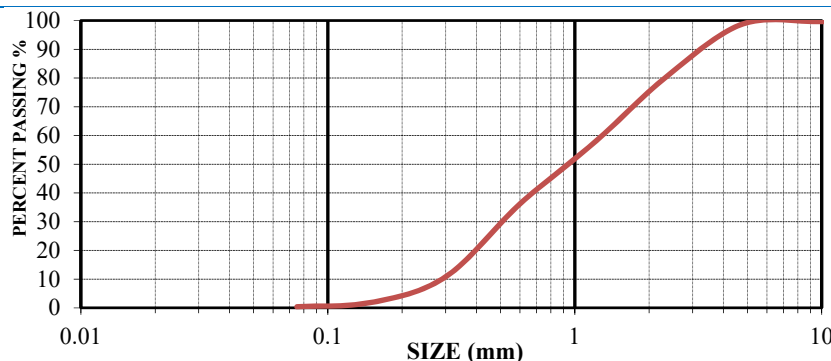


Fig. 3. Grain size distribution of the soil

۴-۲- برنامه آزمایش‌ها

۲۵ آزمایش در موقعیت‌های مختلف از شیب، طول‌ها و تعداد مختلف لایه تقویتی تایر طبق جدول شماره‌ی ۱ اجراشده است. شیب‌های خاک مدل در ارتفاع ۵۰ میلی‌متر و طول ۸۰ میلی‌متر ساخته شد. لایه‌های تایر به صورت افقی با دست قرارگرفته شده است.

۳-۲- تجزیه و تحلیل تصویر با استفاده از روش PIV

تصاویر دیجیتال گرفته شده از خاک در طول آزمایش از طرف جلو مخزن آزمون انجام شد. تصاویر با استفاده از نرم‌افزار GeoPIV توسعه‌یافته در دانشگاه کمبریج پردازش شد [22]. تجزیه و تحلیل PIV استفاده از تکه‌های ۳۲*۳۲ پیکسل، فاصله مرکز به مرکز ۳۲ پیکسل در یک ناحیه جستجو از تکه‌های ۶۴*۶۴ پیکسل انجام شد.

جدول ۱ برنامه‌های آزمایش‌ها

Test name	The number of layers of reinforcement	Position of reinforcement	Length reinforcement in the horizontal direction
A1		Unstabilized slope	
A2	4		60
A3	4	In the upper half of the slope	40
A4	4		20
A5	4		60
A6	4	In the lower half of the slope	40
A7	4		20
A8	8		60
A9	8	Across the slope	40
A10	8		20
A11	3		60
A12	3	In the upper third of the slope	40
A13	3	of the slope	20
A14	3		60
A15	3	In the middle third of the slope	40
A16	3		20
A17	3	In the lower third of the slope	60
A18	3		40
A19	3		20
A20	6		60
A21	6	In the upper two-thirds of the slope	40
A22	6		20
A23	9		60
A24	9	Across the slope	40
A25	9		20

Table 1. Experimental Testing Program

در شکل ۴ به تصویر کشیده شده است. همان‌طور که از شکل

۳- نتایج

۴ مشاهده می‌شود جایجایی‌های جانبی زیر شالوده به سمت

۱- بدون تسلیح کنند

شیب نسبت به طرف دیگر مقدار قابل توجه و بزرگ‌تری است.

اولین آزمایش (A1) شیب در حالت بدون تسلیح می‌باشد.

سطح بحرانی لغزش و بردار جایجایی جانبی شیب بدون تقویتی

شکل ۴. شب در حالت بدون تسلیح الف) سطح لغزش بحرانی ب) بردار جابجایی جانبی

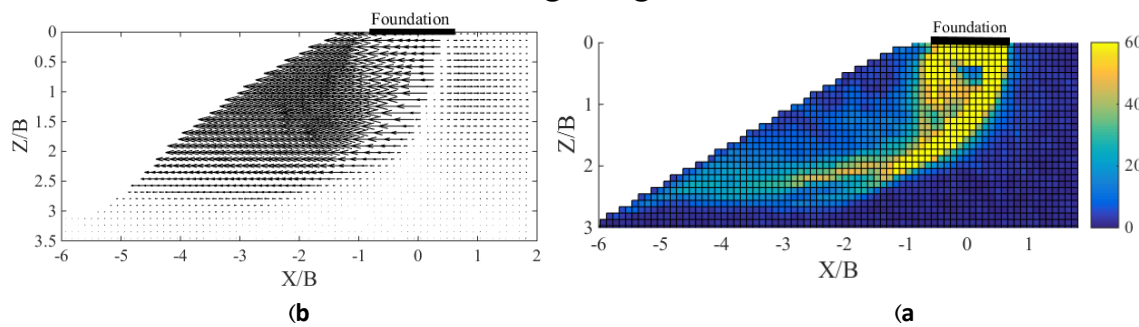
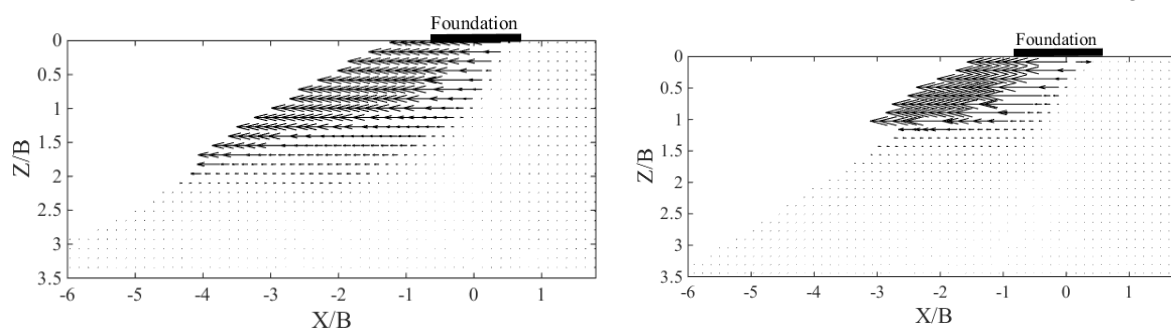


Figure 4. Unstabilized slope a. Critical slip surface b. Lateral displacement vectors

قرار گرفته شد. در شکل ۵ بردار جابجایی جانبی شب تقویت شده با چهار لایه تایر با طول ۲۰ سانتی‌متر نشان داده شده است. در جدول ۲ ظرفیت برابری نهایی و تغییر شکل جانبی ماکریم زیر شالوده و سطح شب تایر با ۴ و ۸ لایه تقویتی تایر برای آرایش‌ها و طول‌های مختلف ارائه شده است.

شکل ۵. بردار جابجایی جانبی شب تقویت شده با چهار لایه تایر با طول ۲۰ سانتی‌متر الف) موقعیت نیمه بالایی شب ب) نیمه پایینی شب



a (b

Figure 5. Soil displacement vectors stabilized slope with four-layered tire-length 20 cm a. in portions of the upper half slope b. in portions of the lower half slope

نمودار جابجایی جانبی در عمق برای ۴ و ۸ لایه تقویتی تایر در شب به ترتیب در اشکال ۶، ۷ نشان داده شده است.

طبق شکل ۵، ۴ مشاهده می‌شود وقتی شالوده مجاور شب تحت بارگذاری قرار می‌گیرد جابجایی‌های جانبی به زیر شالوده و به سمت شب انتقال می‌ابد و جابجایی جانبی کمتری به قسمت خارج شب انتقال می‌یابد.

جدول ۲. ظرفیت برابری نهایی و تغییر شکل جانبی ماکریم زیر شالوده و سطح شب برای ۴ و ۸ لایه تقویتی تایر

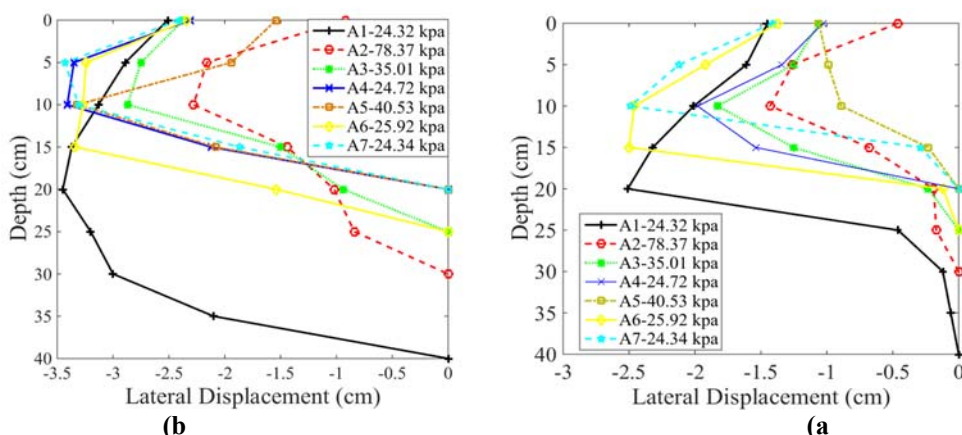
Test name	qu (Ultimate bearing Capacity) kPa	Ultimate lateral displacement beneath the footing (mm)	Ultimate lateral displacement in the upper edge of the slope (mm)
A1	24.32	-14.5	-25.1
A2	78.37	-4.6	-9.2
A3	35.01	-10.6	-23.7
A4	24.72	-10.3	-23.1
A5	40.53	-10.6	-15.4
A6	25.92	-13.7	-23.4
A7	24.34	-14.1	-24.1

A8	86.40	-3.9	-12.2
A9	36.18	-9.2	-20.3
A10	30.78	-5.3	-14.7

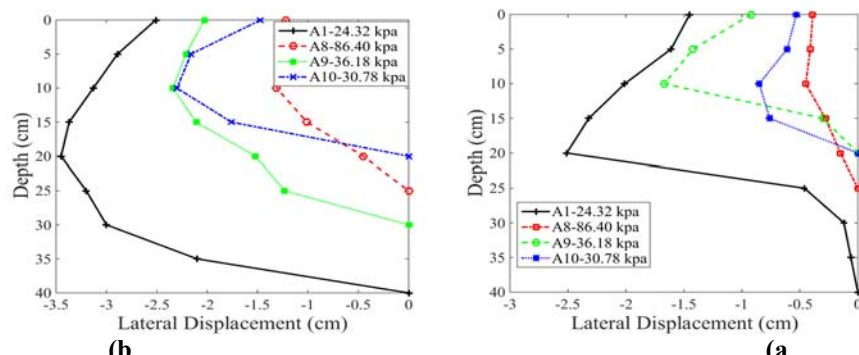
Table 2.Ultimate Bearing Capacity and Ultimate Lateral of Tire-Reinforced Slope with Four and Eight Layers with Unreinforced Slope

در ظرفیت باربری و جابجایی شالوده قابل توجه است. جابجایی جانبی در سطح شیب در مقایسه با جابجایی جانبی زیر شالوده مقدار کمتری می‌باشد. بهترین موقعیت به لحاظ ظرفیت باربری جابجایی جانبی در استفاده از چهار لایه تایر تقویتی در نیمه‌ی بالای شیب می‌باشد.

شکل ۶. جابجایی جانبی در عمق برای ۴ لایه تایر تقویتی درشیب (الف) زیر مرکز شالوده ب(سطح شیب

**Figure 6.** Lateral displacement in depth for 4 layers of tire reinforcement in slope a) footing b) edge slope

شکل ۷. جابجایی جانبی در عمق برای ۸ لایه تایر تقویتی درشیب (الف) زیر مرکز شالوده ب(سطح شیب

**Figure 7.** Lateral displacement in depth for 8 layers of tire reinforcement in slope a) footing b) edge slope

۳-۳-۳-۳-سه، شش و نه لایه تایر تقویت کنند

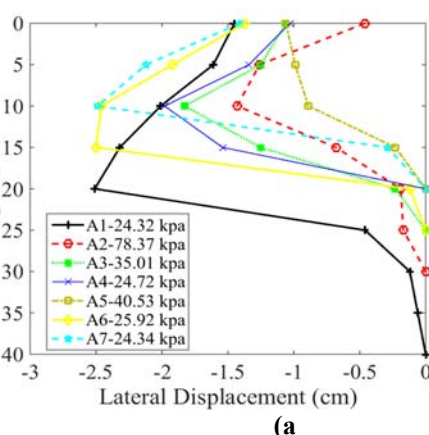
ظرفیت باربری نهایی و تغییر شکل جانبی ماکریم زیر شالوده و سطح شیب برای ۶، ۳ و ۹ لایه تقویتی تایر در جدول ۳ ارائه شده است.

جدول ۳. ظرفیت باربری نهایی و تغییر شکل جانبی ماکریم زیر شالوده و سطح شیب برای ۶، ۳ و ۹ لایه تقویتی تایر

Test name	qu (Ultimate bearing Capacity) kPa	Ultimate lateral displacement beneath the footing (mm)	Ultimate lateral displacement in the upper edge of the slope (mm)
A1	24.32	-25.1	-14.5
A11	56.71	-15.1	-10.8
A12	29.72	-22.4	-14.1
A13	28.08	-20.4	-9.2

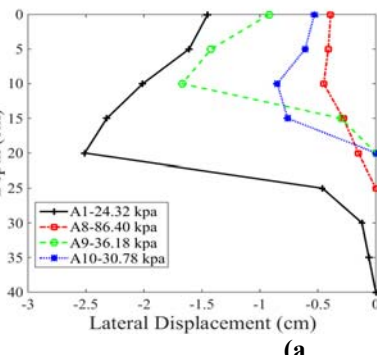
طبق جدول ۲ در آزمایش شیب تقویت نشده مشخص می‌شود هرچه طول لایه تقویتی بیشتر شود ظرفیت باربری به طور قابل توجهی افزایش و جابجایی جانبی کاهش پیدا می‌کند. مخصوصاً زمانی که طول تایر تقویتی ۶۰ سانتی‌متر است و طول تسلیح از گوهی گسینختگی عبور می‌کند بهبود

شکل ۶. جابجایی جانبی در عمق برای ۴ لایه تایر تقویتی درشیب (الف) زیر مرکز شالوده ب(سطح شیب



شکل ۷. جابجایی جانبی در عمق برای ۸ لایه تایر تقویتی درشیب (الف) زیر مرکز شالوده ب(سطح شیب

شکل ۷. جابجایی جانبی در عمق برای ۸ لایه تایر تقویتی درشیب (الف) زیر مرکز شالوده ب(سطح شیب

**Figure 6.** Lateral displacement in depth for 4 layers of tire reinforcement in slope a) footing b) edge slope

همان‌طور که از اشکال ۶، ۷ مشاهده می‌شود حداقل جابجایی جانبی درشیب تقویت نشده تا عمق ۴۰ سانتی‌متری انتقال می‌یابد و با حضور تقویتی به اعماق کمتری به عمق ۲۰ سانتی‌متری یا نصف حالت بدون تقویتی انتقال می‌یابد.

جدول ۳. ظرفیت باربری نهایی و تغییر شکل جانبی ماکریم زیر شالوده و سطح شیب برای ۶، ۳ و ۹ لایه تقویتی تایر

A14	35.10	-21.5	-11.5
A15	27.54	-20.2	-13.3
A16	26.46	-22.3	-12.9
A17	25.92	-12	-12.3
A18	25.38	-15.2	-13.9
A19	25.59	-15.6	-14.3
A20	86.44	-4.6	-2.6
A21	33.48	-15.4	-11.3
A22	29.70	-19.7	-14.3
A23	88.47	-10.4	-2.1
A24	36.72	-22.5	-11.2
A25	31.32	-23.7	-13.9

Table 3. Ultimate bearing capacity and ultimate lateral displacement of three, six and nine-layered reinforcement tires slopes and unreinforcement slope

جانبی یکسوم بالای شیب می‌باشد. وقتی طول تایرهای تقویتی افزایش می‌یابد ظرفیت باربری به میزان قابل توجهی افزایش می‌یابد و جابجایی جانبی کاهش پیدا می‌کند مخصوصاً زمانی که در یکسوم بالای شیب قرار می‌گیرد. وقتی از ۶ و ۹ لایه تایر تقویتی با طول ۶۰ سانتی‌متر (A23، A20) بیش از ۳،۵ برابر ظرفیت باربری و بیش از ۵،۵ برابر جابجایی زیر شالوده را کاهش می‌دهد. جابجایی جانبی در سطح شیب نسبت به جابجایی زیر شالوده بزرگ‌تر می‌باشد. جابجایی جانبی در عمق برای ۳،۶،۹ لایه تایر تقویتی درشیب به ترتیب در اشکال ۸،۹،۱۰ نشان داده شده است.

.

در این بخش به صورت جمعی ۱۵ آزمایش انجام شد بطوریکه ۹ آزمایش شامل سه لایه تقویتی افقی با طول‌های مختلف (۲۰، ۴۰ و ۶۰ سانتی‌متر) در یکسوم بالای، یکسوم میانی و یکسوم پایینی شیب و سه آزمایش با ۶ لایه تایر در دوسرم بالای شیب و سه آزمایش با ۹ لایه تایر در سراسر شیب با طول‌های مختلف (۲۰، ۴۰ و ۶۰ سانتی‌متر) انجام گرفته است. (A11) سه لایه تایر با طول ۶۰ سانتی‌متر در یکسوم بالای شیب قرار می‌گیرد نسبت به شیب بدون تسلیح ظرفیت باربری بیش از ۲،۳ برابر و جابجایی جانبی زیر شالوده و لبه‌ی شیب به ترتیب ۱،۳،۱،۶ برابر افزایش می‌یابد. بهترین موقعیت در سه لایه تایر تقویتی درشیب به لحاظ ظرفیت باربری و جابجایی

شکل ۸- جابجایی جانبی در عمق برای ۳ لایه تایر تقویتی درشیب (الف) زیر مرکز شالوده ب(سطح شیب

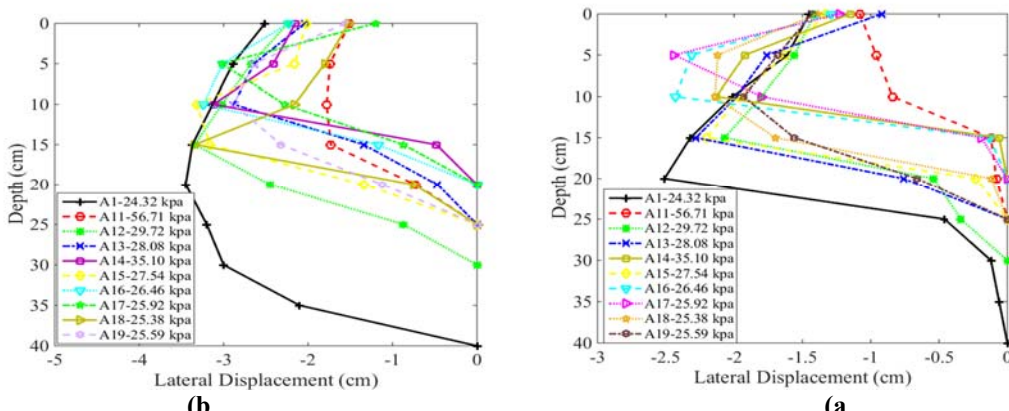


Figure. 8. Lateral displacement in depth for 3 layers of tire reinforcement in slope a) footing b) slope

نشده تا عمق ۴۰ سانتی‌متری انتقال می‌یابد و با حضور تقویتی به اعماق کمتری ۱۵ و ۲۰ سانتی‌متری (یکسوم و نصف حالت بدون تقویتی) انتقال می‌یابد.

همان‌طور که از اشکال ۸،۹،۱۰ مشاهده می‌شود جابجایی جانبی در سطح شیب نسبت به جابجایی زیر شالوده بزرگ‌تر می‌باشد. با افزایش عمق تغییر شکل‌های جانبی در زیر مرکز شالوده و سطح شیب کاهش می‌یابد. حداقل جابجایی جانبی درشیب تقویت

شکل ۹- جابجایی جانبی در عمق برای ۶ لایه تایر تقویتی درشیب (الف) زیر مرکز شالوده ب(سطح شیب

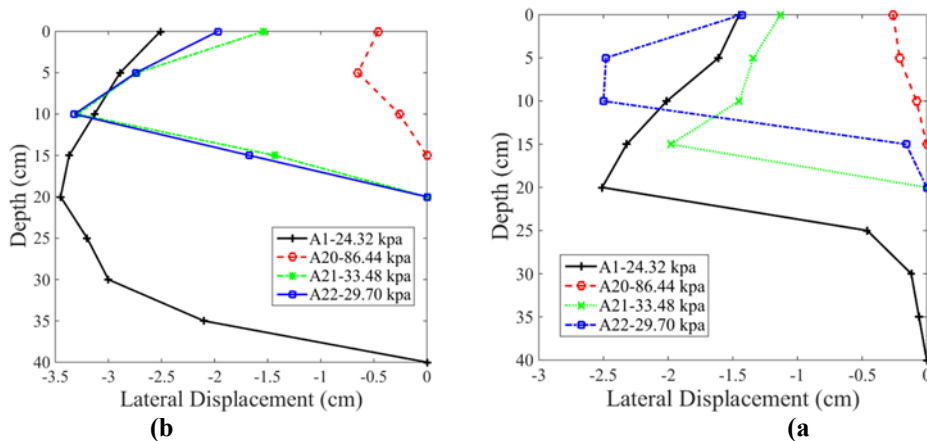


Figure. 9. Lateral displacement in depth for 6 layers of tire reinforcement in slope a) footing b) edge slope

شکل ۱۰- جابجایی جانبی در عمق برای ۹ لایه تایر تقویتی در شیب (الف) زیر مرکز شالوده ب(سطح شیب

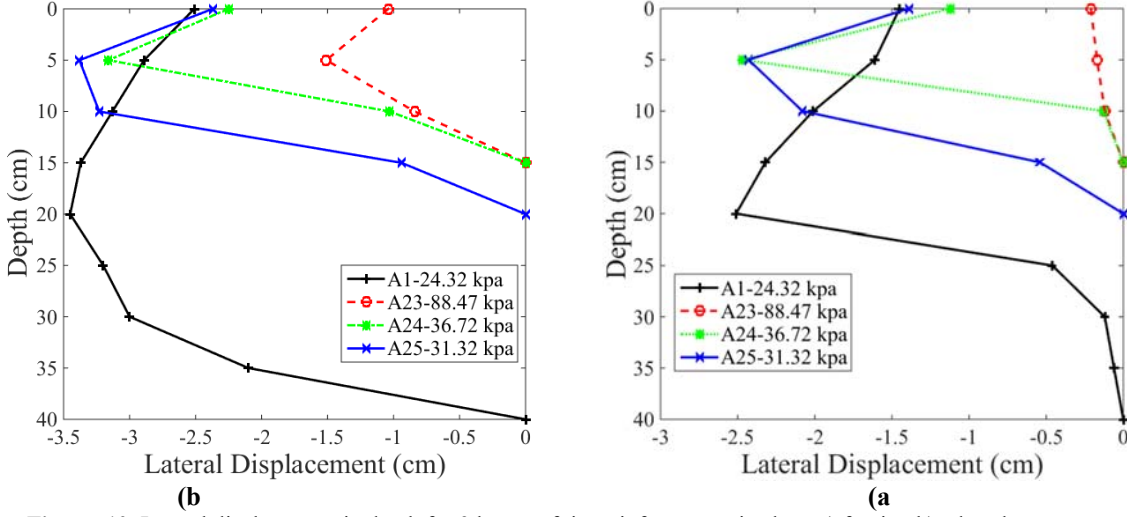


Figure. 10. Lateral displacement in depth for 9 layers of tire reinforcement in slope a) footing b) edge slope

طول گوهی گسیختگی در بالا نسبت به پایین شیب بیشتر است و وقتی چهار لایه تقویتی در نیمه‌ی بالای شیب قرار می‌گیرد در مقایسه با وقتی در نیمه‌ی پایینی شیب قرار می‌گیرد طول بیشتری از لایه‌ی افقی تایر در محدوده‌ی گوهی گسیختگی قرار گرفته و در برابر حرکت گوه، مقاومت بیشتری نماید. با مقایسه A1 با هشت لایه تقویتی تایری (A₁₀, A₉, A₈) بهترین A₈ بهبود به لحاظ ظرفیت باربری و جابجایی جانبی آزمایش A₈ یعنی زمانی که بیشترین طول لایه تایر می‌باشد و علت آن است که وقتی طول لایه تقویتی بیشتر می‌شود طول زیادی از تقویتی در برابر حرکت گوهی گسیختگی مقاومت می‌کند به عبارتی دیگر طول بیشتری از لایه تایر با خاک مجاور تماس و اصطکاک بیشتری ایجاد می‌شود. با مقایسه A1 با سه لایه

استفاده از حلقه‌های سبک لاستیک در شیب خاکی روش نوینی در پایدارسازی شیب است و موقعی که بخشی از توده‌ی خاک به عنوان عامل محرك در ناپایداری شیب عمل می‌کند، برداشته شده و حلقه‌های سبک لاستیکی جایگزین آن می‌شود. با توجه به جدول ۳ و با مقایسه A1 با چهار لایه تقویتی تایری (A₂, A₃, A₄, A₅, A₆, A₇) مشخص شد که بهترین A₂ بهبود در ظرفیت باربری و جابجایی جانبی مربوط به آزمون A₂ می‌باشد، مادام که تقویتی در نیمه‌ی بالایی شیب قرار گرفته است و طول لایه تقویتی ۶۰ سانتی‌متر می‌باشد. چهار لایه تقویتی قرار گرفته در نیمه‌ی پایینی شیب در مقایسه با چهار لایه تقویتی قرار گرفته در نیمه‌ی بالایی شیب اثر کمتری در بهبود ظرفیت باربری و جابجایی جانبی دارد و علت این امر آن است که،

وقتی که در یک سوم میانی و یک سوم پایینی شب قرار می‌گیرد طول بیشتری از لایه‌ی افقی تایر در محلودهی گوهی گسیختگی قرار گرفته و در برابر حرکت گوه مقاومت بیشتری می‌نماید. همچنین در مقایسه‌ی استفاده از شش لایه تایر و نه لایه تایر تقویتی با طول‌های مساوی (A₂₀ با A₂₃ و A₂₁ با A₂₄ و A₂₅ با A₂₂) نیست، درنتیجه تایر تقویتی در یک سوم پایینی نقشی در افزایش ظرفیت باربری و کاهش جابجایی جانبی ندارد.

بنابراین به کمک جدول ۴ می‌توان هر مدل آزمایشگاهی را تبدیل به مدل واقعی نمود و هر مدل واقعی را در آزمایشگاه مدل‌سازی نمود. قابل ذکر است که خواص مقاومتی خاک مانند چسبندگی، زاویه‌ی اصطکاک داخلی و وزن مخصوص، در مدل‌های واقعی و آزمایشگاهی ثابت هستند و تغییر نمی‌کنند.

تقویتی تایر (A₁₁, A₁₂, A₁₃, A₁₄, A₁₅, A₁₆, A₁₇, A₁₈) مشخص شد که بهترین بهبود در ظرفیت باربری و جابجایی جانبی مربوط به آزمون A₁₁ می‌باشد، وقتی که تقویتی در یک سوم بالایی شب قرار گرفته است و طول لایه تقویتی ۶۰ سانتی‌متر می‌باشد. وقتی سه لایه تایر در یک سوم پایینی و در یک سوم میانی شب قرار می‌گیرد در مقایسه با زمانی که در یک سوم بالایی شب قرار می‌گیرد اثر بهبود کمتری دارد و علت این امر، طول گوهی گسیختگی در یک سوم بالایی در مقایسه با یک سوم میانی و پایینی شب بیشتر است و وقتی سه لایه تقویتی در یک سوم بالایی شب قرار می‌گیرد در مقایسه با

۵- تحلیل ابعادی

در نظر گرفتن اثر اندازه‌ی واقعی به موضوع تحلیل ابعادی مربوط می‌شود که از نسبت‌هایی که در جدول ۴ نسبت مقیاس (S) است استفاده می‌شود [23].

جدول ۴. تبدیل مدل واقعی به آزمایشگاهی به وسیله‌ی ضریب مقیاس S

	Time	Length	Area	Force	Mass
Real Model	T	L	A	F	M
Laboratory Model	$T\sqrt{S}$	SL	AS^2	FS^2	MS^3

Table 4. Conversion of actual model to laboratory by scale factor S

مدل آزمایشگاهی نسبت به مدل واقعی $\frac{1}{h}$ در نظر گرفته شده است.

S ضریب مقیاس می‌باشد. مدل واقعی که در آزمایشگاه مدل‌سازی شده است طبق جدول ۵ محاسبه می‌شود. مقایسه

جدول ۵. تبدیل مدل واقعی به آزمایشگاهی به وسیله‌ی ضریب مقیاس $\frac{1}{5}$

	Time	Length	cohesion	Friction Angel	Mass
Real Model	20	0.7 m (for example: slope crown length)	0	38	0.280 kg
Laboratory Model	44.7	3.5 m	0	38	35 kg

Table 5. Conversion of actual model to laboratory by scale factor $\frac{1}{5}$

۱- نقش تقویتی‌های تایر در بهبود ظرفیت باربری و جابجایی‌های جانبی زیر شالوده و سطح شب قابل توجه است.

۲- وقتی از چهار لایه تایر تقویتی با طول ۶۰ سانتی‌متر در نیمه‌ی بالایی شب قرار می‌گیرد نسبت به حالت بدون تسلیح، ظرفیت باربری بیش از سه برابر و جابجایی جانبی

لاستیک یک مشکل بزرگ زیست‌محیطی است که باگذشت زمان نیز در حال افزایش است. یکی از راه حل‌های دفع تایر استفاده از آن به عنوان یک ماده تسلیح کننده در شب می‌باشد که باعث پایین آمدن هزینه‌ها و کاهش مشکلات زیست‌محیطی می‌شود. نتایج حاصل از این مطالعه به ترتیب زیر است:

۶- نتیجه‌گیری

- chips. *J. Geotech. Geoenviron. Eng.* **123**(4), 295e304.
- [4] Turer, A., 2012 Recycling of Scrap Tires. INTECH Open Access Publisher.
- [5] Rubber Manufacturers Association 2006 Scrap Tire Markets in the United States. Washington DC, 23.
- [6] Nouri-Qidari, M.H., 2010 Effect of different values of waste tire crumbs on compressive strength of concrete. *Iranian Rubber Industry Quarterly*, **59**, 98-107, (In Persian).
- [7] Dammala, P.K., Sodom, B.R. and Adapa, M.K., 2015 Experimental investigation of applicability of sand tire chip mixtures as retaining wall backfill. In IFCEE 2015, 1420-1429.
- [8] Dammala, P.K., Sodom, B.R. & Adapa, M.K. 2015 Experimental investigation of applicability of sand tire chip mixtures as retaining wall backfill. In IFCEE 2015, 1430-1439.
- [9] Lazizi, A., Trouzine, H., Asroun, A. & Belabdelouhab, F., 2014 Numerical simulation of tire reinforced sand behind retaining wall under earthquake excitation. *Engineering Technology & Applied Science Research*, **4**(2), 605-611.
- [10] Ghazavi, M., Mohebi, A. & Namdari, M. 2017 Static Characteristics of Footings on Tire Shred-Reinforced Granular Trench. *Arabian Journal for Science and Engineering*, **42**(3), pp.1147-1154.
- [11] Tafreshi, S.M. & Norouzi, A.H., 2012 Bearing capacity of a square model footing on sand reinforced with shredded tire—An experimental investigation. *Construction and Building Materials*, **35**, 547-556.
- [12] Ahmed, A. & El Naggar, M.H. 2018 Effect of cyclic loading on the compressive strength of soil stabilized with bassanite-tire mixture. *Journal of Material Cycles and Waste Management*, **20**(1), 525-532.
- [13] Anbazhagan, P., Manohar, D.R. & Rohit, D. 2017. Influence of size of granulated rubber and tyre chips on the shear strength characteristics of sand-rubber mix. *Geomechanics and Geoengineering*, **12**(4), 266-278.
- [14] Slack, D.C., Garcia, G., Roth, R., Hoenig, S., Segovia, R., Soto, R. & Frayre, A. 2008. Engineered Conservation Structures using Discarded Tires. In American Society of Agricultural and Biological Engineers-Conference on 21st Century Watershed Technology: Improving Water Quality and Environment, 163-170.
- [15] Huat, B.B.K., Aziz, A. & Chuan, L. 2008 Application of scrap tyres as earth reinforcement

در زیر شالوده بیش از ۳,۱ برابر و جابجایی جانبی در لبه بالایی شبیب بیش از ۲,۷ برابر کاهش می‌یابند.

-۳- بهترین موقعیت به لحاظ ظرفیت باربری و جابجایی جانبی در استفاده از چهار لایه تایر تقویتی در نیمه‌ی بالایی شبیب می‌باشد.

-۴- وقتی از شش، هشت و نه لایه تایر تقویتی با طول ۶۰ سانتی‌متر در شبیب قرار می‌گیرد نسبت به حالت بدون تسلیح جابجایی جانبی در زیر شالوده بیش از ۳,۵ برابر و جابجایی جانبی در لبه بالایی شبیب بیش از ۲ برابر کاهش می‌یابند.

-۵- وقتی سه لایه تایر با طول ۶۰ سانتی‌متر در یکسوم بالایی شبیب قرار می‌گیرد، نسبت به شبیب بدون تسلیح، ظرفیت باربری بیش از ۲,۳ برابر و جابجایی جانبی زیر شالوده و لبه شبیب به ترتیب ۱,۶ و ۱,۳ برابر افزایش می‌یابد.

-۶- هرچه طول لایه تقویتی بیشتر شود ظرفیت باربری به طور قابل توجهی افزایش و جابجایی جانبی کاهش پیدا می‌کند. به ویژه زمانی که طول تایر تقویتی ۶۰ سانتی‌متر است و طول تسلیح کننده از گوهی گسیختگی عبور می‌کند، بهبود در ظرفیت باربری و جابجایی جانبی شالوده قابل توجه است.

-۷- بهترین موقعیت در سه لایه تایر تقویتی در شبیب به لحاظ ظرفیت باربری و جابجایی جانبی یکسوم بالایی شبیب می‌باشد.

-۸- وجود تایر در یکسوم پایینی شبیب اثر چندانی بر بهبود ظرفیت باربری، جابجایی جانبی شالوده و سطح شبیب نسبت به حالت شبیب بدون تقویتی ندارد.

۷- مراجع

- [1] -Hassine, W.B., Hassis, H. & Hamida, A.B. 2005 An extension, flexural, and warping model of soil reinforced by used tire's portions related by linear inclusion. *European Journal of Mechanics-A/Solids*, **24**(4), pp.630-643.
- [2] Long, N.T. 1996 Utilization of used tires in civil engineering e the pneusol'tyresoil. *Proceedings of 2nd International Congress on Environmental Geotechnic*, Osaka, Japan, 809e814.
- [3] Bosscher, P.J., Edil, T.B. & Kuraoka, S. 1997 Design of highway embankments using tyre

- [20] Mandal, J.N., Kumar, S. & Meena, C.L. 2005 Centrifuge modeling of reinforced soil slopes using tire chips. In *Proceedings of the Sessions of the Geo-Frontiers Congress. Austin, Texas, United States*, 166-173.
- [21] Li, L. Xiao, H. Ferreira, P. & Cui, X. 2016 Study of a small scale tyre-reinforced embankment. *Geotextiles and Geomembranes*, **44**(2), 201-208.
- [22] White, D.J., Take, W.A. & Bolton, M.D. 2003 Soil deformation measurement using particle image velocimetry (PIV) and photogrammetry. *Geotechnique*, **53**(7), 619-632.
- [23] Harris, H.G. & Sabnis, G. 1999 Structural modeling and experimental techniques. *CRC press*.
- for repair of tropical residual soil slope. *Electron. J. Geotech. Eng.* **13**, 1-9.
- [16] Sayão, A.S.F.J. Gerscovich, D. Medeiros, L. & Sieira, A.C.C.F. 2009 Scrap Tire-An Attractive Material for Gravity Retaining Walls and Soil Reinforcement. *The Journal of Solid Waste Technology and Management*, **35**(3), 135-155.
- [17] Garga, V.K. & O'Shaughnessy, V. 2007 Reinforced earth-fill. Part 1: construction of a test fill performance, and retaining wall design. *Can. Geotech. J.*, **37**, 75-96.
- [18] Kim, K.S., Yoon, Y.W. & Yoon, G.L. 2011 Pullout behavior of cell-type tyres in reinforced soil structures. *J. Civ. Eng.* **15** (7), 1209-1217.
- [19] Belabdelouhab, F. & Kebaili, N. 2015 Large Scale Experimentation Slope Stability of «Soil Tyre» in Mostaganem (Algeria). *Energy Procedia*, **74**, 699-706.

Laboratory study of Soil Slopes Reinforced with Waste Tire Based on Horizontal Displacement

M.H. Mirnaghizadeh¹, M. Hajiazizi²

1. Ph.D Candidate, Department of Engineering, Razi University, Kermanshah, Iran
2. Associate Professor, Department of Engineering, Razi University, Kermanshah, Iran

* mhazizi@razi.ac.ir

Abstract

In recent years, the number of waste tires around the world is increasing rapidly and has become an environmental and economic problem. Today, accumulation of waste tires in the environment is one of the biggest problems to the environment and recycling waste tires is the best strategy to solve this problem. The use of waste tires in construction and geotechnical projects is one of the effective strategies in this regard. In this paper, experimental tests of earth slope reinforced with waste tires based on horizontal displacement (25 experiments) has been performed.

During incremental loading, digital images were taken from the models and the particle image velocity (PIV) method was used. Parameters such as tire layer length, number of layers and tire layer position are considered as variable. The results show that the use of tire reinforcement has a significant effect on reducing horizontal displacement under the foundation and slope surface. Horizontal tire rows are the best reinforcement location in terms of improved bearing capacity and lateral displacement. When four layers of 60 cm long reinforcement tire are placed in the upper half of the slope, the bearing capacity increases 3 times and the lateral displacement under the foundation decreases by 3.1 times. When three layers of tires with a length of 60 cm are placed in the upper third of the slope, the bearing capacity increases by 2.3 times and the lateral displacement under the foundation increases by 1.3 times. When six, eight, and nine layers of reinforcing tires with a length of 60 cm are placed into the slope, lateral displacement under the foundation is reduced more than 3.5 times.

In Iran, eight largest tire factories produce 13.5 million tires in a year. It also imports 4 million tires a year. Therefore, 17.5 million tires are the annual consumption of the country. More than 100,000 tires are the product of factory production line waste, as well as used tires. Waste tires have been used to strength retaining walls, foundations, improve soil properties, embankments and etc. Therefore it is believed that soil reinforced with waste tires become a wider application in the future, especially in countries with low worker costs.

In this paper, the test was performed in a box with length, width and height of 2, 1, 1 m, respectively. The test material used in this study is sand in the dry state. The maximum and minimum dry sand densities are 19.43 and 16.36 kN/m, respectively. Internal friction angle and cohesion were measured by direct shear test at 38 degree and about 0 kPa, respectively. Digital images taken from the front of the test box during the experiment. Images were processed using GeoPIV software developed at the University of Cambridge. The results of this study are as follows:1. The best position in terms of bearing capacity and lateral displacement is to use four layers of reinforcing tire in the upper half of the slope.2. As the length of the reinforcement layer increases, the bearing capacity increases significantly and the lateral displacement decreases. Especially when the length of the reinforcement tire is 60 cm and the length of the reinforcement passes through the rupture wedge, the improvement in bearing capacity and lateral displacement of the foundation is noticeable.3. The best position in the three layers of reinforcement tire on the slope in terms of bearing capacity and lateral displacement is one-third of the upper slope.4. The presence of a tire in the lower third of the slope has little effect on improving the bearing capacity, lateral displacement of the foundation and the slope surface compared to the slope without reinforcement.

Keywords: Soil Slopes, Tire Reinforcement, Bearing Capacity, Lateral Displacement